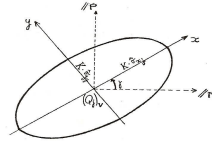


Ajustamento de Redes

5.9.7 Elipses de confiança

- A elipse de confiança define uma área ampliada, resultante da multiplicação dos semieixos da elipse de erro por um factor probabilístico k ;
- Seja xoy um sistema de eixos centrado no ponto verdadeiro fazendo um ângulo γ com os eixos do sistema de coordenadas da rede;
- Pretende-se calcular a probabilidade de uma estimativa aleatória de um ponto \hat{Q}_j cair dentro da elipse figurada, ou seja,

$$P\left\{\frac{x^2}{(k\hat{\sigma}_x)^2} + \frac{y^2}{(k\hat{\sigma}_y)^2} < 1\right\} = P_k$$



Geodesia & Aplicações – Aula 7

FCUL-EG

Ajustamento de Redes

5.9.7 Elipses de confiança

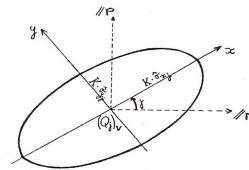
- Aplicando uma rotação do valor de γ , através da respectiva matriz R_γ , passamos do sistema (M,P) para o sistema (x,y);
- Tomando a matriz das variâncias-covariâncias das coordenadas do ponto \hat{Q}_j , obtém-se a matriz das variâncias-covariâncias definida no sistema (x, y)

$$\hat{C}_{xy\hat{Q}_j} = R_\gamma \cdot \begin{bmatrix} \hat{\sigma}_{M_j}^2 & \hat{\sigma}_{M_j P_j} \\ \hat{\sigma}_{M_j P_j} & \hat{\sigma}_{P_j}^2 \end{bmatrix} \cdot R_\gamma^T$$

$$\hat{\sigma}_{x_j}^2 = \cos^2 \gamma \hat{\sigma}_{M_j}^2 + \sin^2 \gamma \hat{\sigma}_{P_j}^2 + \sin(2\gamma) \hat{\sigma}_{M_j P_j}$$

$$\hat{\sigma}_{y_j}^2 = \sin^2 \gamma \hat{\sigma}_{M_j}^2 + \cos^2 \gamma \hat{\sigma}_{P_j}^2 - \sin(2\gamma) \hat{\sigma}_{M_j P_j}$$

$$\hat{\sigma}_{x_j y_j} = \frac{\sin(2\gamma)}{2} (\hat{\sigma}_{P_j}^2 - \hat{\sigma}_{M_j}^2) + \cos(2\gamma) \hat{\sigma}_{M_j P_j}$$



Geodesia & Aplicações – Aula 7

FCUL-EG

Ajustamento de Redes

5.9.7 Elipses de confiança

f) O termo não-diagonal (covariância) é nulo quando $\gamma=0$

g) Como se tem

$$\hat{\sigma}_{x_j}^2 = c_x^2 \cdot \hat{\sigma}_0^2; \quad \hat{\sigma}_{y_j}^2 = c_y^2 \cdot \hat{\sigma}_0^2; \quad \hat{\sigma}_{x_j y_j} = 0$$

onde c_x e c_y são constantes calculadas por um produto matricial, a condição de probabilidade pode-se escrever da forma

$$P\left\{\frac{x^2}{c_x^2 \cdot \hat{\sigma}_0^2} + \frac{y^2}{c_y^2 \cdot \hat{\sigma}_0^2} < k^2\right\} = P_k$$

Ajustamento de Redes

5.9.7 Elipses de confiança

h) Fazendo algumas modificações legítimas temos

$$P\left\{\frac{\frac{(x-\mu_x)^2}{c_x^2 \cdot \hat{\sigma}_0^2} + \frac{(y-\mu_y)^2}{c_y^2 \cdot \hat{\sigma}_0^2}}{\frac{\hat{\sigma}_0^2}{\sigma_0^2}} < k^2\right\} = P_k$$

i) Na expressão de desigualdade tem-se no numerador uma v.a. de χ^2 de 2 g.l. (soma dos quadrados de duas v.a. normais reduzidas) e no denominador uma v.a. de χ^2 de (n-q) g.l.

$$P\left\{\frac{\chi_2^2 / 2}{\chi_{n-q}^2 / (n-q)} < \frac{k^2}{2}\right\} = P\left\{F(2, n-q) < \frac{k^2}{2}\right\} = P_k$$

Ajustamento de Redes

5.9.7 Elipses de confiança

j) A relação anterior fornece-nos a probabilidade de o ponto \hat{Q}_j se encontrar dentro da elipse ampliada do factor k e centrada no ponto verdadeiro, $(Q_j)_v$;

k) Estas relações permite-nos resolver dois tipos de problema:

1 – **Fixando a probabilidade P_k** , qual deverá ser o factor de ampliação k , para que o ponto aleatório caia dentro da elipse?

2 – **Fixando o valor de k** , qual a probabilidade de esse ponto se situar dentro da elipse;

l) Exemplos numérico:

$$1 - F_{\text{tab}}(2, 14, 0.95) = 3.74 \Rightarrow k^2/2 = 3.74 \Rightarrow k = \sqrt{7.48} = 2.74$$

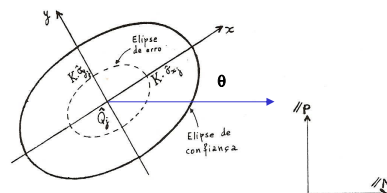
$$2 - k=1 \Rightarrow k^2/2 = 0.5 \Rightarrow F_{\text{tab}}(2, \infty, P_k) = 0.5 \Rightarrow P_k = 39\%$$

Ajustamento de Redes

5.9.7 Elipses de confiança

m) Conclui-se que a elipse de erro ($k=1$) corresponde a uma elipse de confiança entre os 35% ($n-q=3$) e os 39% ($n-q= \infty$) de probabilidade, constituindo um domínio de dispersão não dilatado;

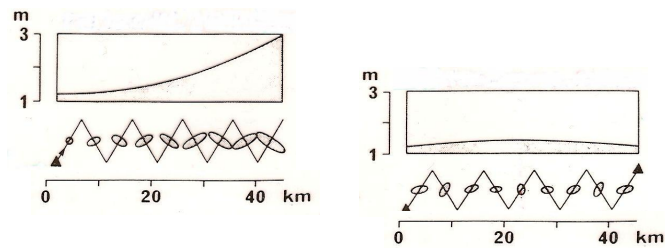
n) Para probabilidades superiores (90, 95 ou 99%), correspondendo a maior confiança no valor estimado, obtêm-se domínios de dispersão bem mais dilatados.



Ajustamento de Redes

5.9.8 Exemplos de Elipses de erro relativas

a) Poligonal aberta e poligonal fechada (amarrada)



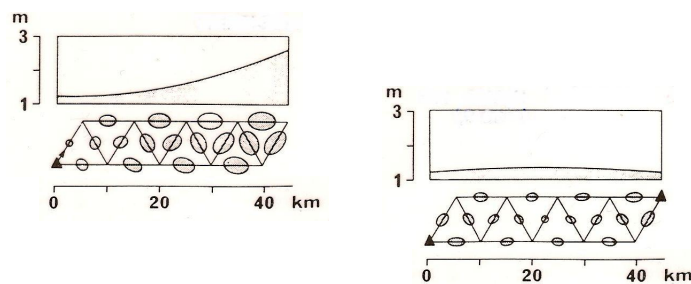
Geodesia & Aplicações – Aula 7

FCUL-EG

Ajustamento de Redes

5.9.8 Exemplos de Elipses de erro relativas

b) Triangulação em cadeia com 1 e 2 pontos fixos



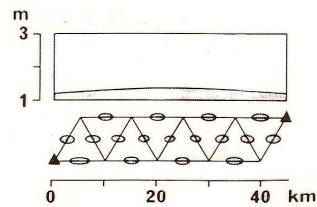
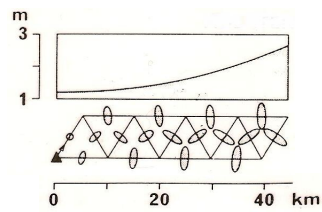
Geodesia & Aplicações – Aula 7

FCUL-EG

Ajustamento de Redes

5.9.8 Exemplos de Elipses de erro relativas

c) Trilateração em cadeia com 1 e 2 pontos fixos



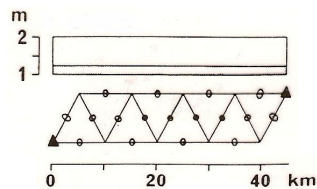
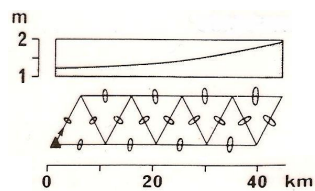
Geodesia & Aplicações – Aula 7

FCUL-EG

Ajustamento de Redes

5.9.8 Exemplos de Elipses de erro relativas

d) Combinação em cadeia com 1 e 2 pontos fixos



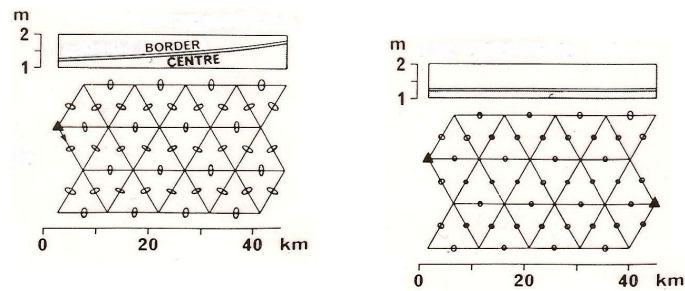
Geodesia & Aplicações – Aula 7

FCUL-EG

Ajustamento de Redes

5.9.8 Exemplos de Elipses de erro relativas

e) Rede com 1 e 2 pontos fixos

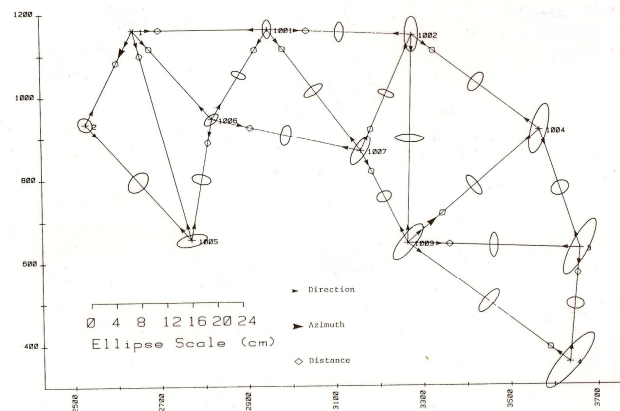


Geodesia & Aplicações – Aula 7

FCUL-EG

Ajustamento de Redes

5.9.9 Exemplo de Elipses a 95% confiança (1 pt fixo)

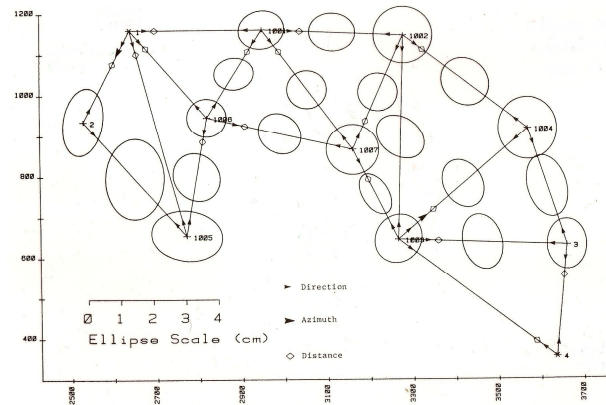


Geodesia & Aplicações – Aula 7

FCUL-EG

Ajustamento de Redes

5.9.9 Exemplo de Elipses a 95% confiança (2 pts fixos)



Geodesia & Aplicações – Aula 7

FCUL-EG

Ajustamento de Redes

5.9.10 Elipse de erro – outro modo de determinação

a) Da álgebra matricial, sabe-se que os valores e vectores próprios de uma matriz quadrada, de dimensão q , determinam-se pela resolução do sistema linear:

$$B \cdot x = \lambda \cdot x \Rightarrow (B - \lambda \cdot I) \cdot x = 0$$

além da sua solução trivial, tem as soluções dadas pela **equação característica da matriz B**:

$$|B - \lambda \cdot I| = 0$$

b) Esta igualdade representa um polinómio real de grau q em λ , com q raízes, que definem os valores próprios da matriz;

c) A cada valor próprio λ_i corresponde um vector próprio x_i , que se obtém por substituição no sistema linear de x ;

Geodesia & Aplicações – Aula 7

FCUL-EG

Ajustamento de Redes

5.9.10 Elipse de erro – outro modo de determinação

d) O cálculo de valores e vectores próprios da matriz de covariância dos parâmetros, C_{δ} , permite determinar também os elementos de uma elipse de erro dos vértices da rede;

e) A aplicação da equação característica ao caso bidimensional, conduz ao polinómio:

$$(-\lambda)^2 + \text{Tr}(\mathbf{B}) \cdot (-\lambda) + |\mathbf{B}| = 0$$

substituindo na equação o traço e o determinante da sub-matriz de covariâncias obtemos um polinómio de 2º grau em λ

$$\lambda^2 - (\hat{\sigma}_{\Delta M_j}^2 + \hat{\sigma}_{\Delta P_j}^2) \cdot \lambda + (\hat{\sigma}_{\Delta M_j}^2 \cdot \hat{\sigma}_{\Delta P_j}^2 - \hat{\sigma}_{\Delta M_j \Delta P_j}^2) = 0$$

Ajustamento de Redes

5.9.10 Elipse de erro – outro modo de determinação

d) Resolvendo este polinómio anterior, obtém-se como solução, os valores próprios λ_1 e λ_2 ,

$$\lambda_1 = \frac{1}{2} \left\{ \sigma_{\Delta M_j}^2 + \sigma_{\Delta P_j}^2 + \sqrt{(\sigma_{\Delta M_j}^2 - \sigma_{\Delta P_j}^2)^2 + 4\sigma_{\Delta M_j \Delta P_j}^2} \right\}$$

$$\lambda_2 = \frac{1}{2} \left\{ \sigma_{\Delta M_j}^2 + \sigma_{\Delta P_j}^2 - \sqrt{(\sigma_{\Delta M_j}^2 - \sigma_{\Delta P_j}^2)^2 + 4\sigma_{\Delta M_j \Delta P_j}^2} \right\}$$

e) Estes valores correspondem às variâncias máxima e mínima, da sub-matriz de covariâncias;

g) Como por definição, os semieixos das elipses correspondem aos valores máximo e mínimo do desvio-padrão, cada semieixo é determinado pela raiz quadrada dos valores próprios;

g) As suas direcções são dadas pelos vectores próprios.

Ajustamento de Redes

5.9.11 Hiperelipsóide de erro

- a) O hiper-elipsóide de erro é **o domínio de erro de toda a rede geodésica**, com $n-q$ graus de liberdade;
- b) Os seus semieixos são os valores próprios de uma dada matriz de covariância de uma nova variável, e dão-nos uma **medida de precisão global da rede**;
- c) A análise anterior de domínios locais de erro (elipses relativas e absolutas) é limitada, pois refere-se a cada vértice isolado da rede, com desprezo pelas covariâncias entre as coordenadas desses vértices e as coordenadas dos restantes vértices;
- d) As **elipses de erro** correspondem a secções planas do hiper-elipsóide de erro da rede geodésica, e **são uma solução aproximada** do problema: **Qual é a precisão da Rede?**;

Ajustamento de Redes

5.9.11 Hiperelipsóide de erro

- e) É sempre possível transformar um conjunto de v.a. correlacionadas num outro de v.a. não-correlacionadas;
- f) A matriz de transformação não é única, uma das soluções é dada pela matriz cujas colunas são os vectores próprios normalizados da matriz de covariâncias das v.a. originais;
- g) Esta operação é equivalente a diagonalizar a matriz de covariâncias original;
- h) Para qualquer matriz **B**, existe sempre uma matriz rotação **S** (ortogonal) tal que **D = S^T.B.S** é diagonal (constituída com os valores próprios de B);

Ajustamento de Redes

5.9.11 Hiperelipsóide de erro

i) Se a matriz B for simétrica e definida positiva, então:

- os seus valores próprios são reais e todos positivos;
- os seus vectores próprios são todos mutuamente ortogonais;

j) Se designarmos por **S a matriz ortogonal** cujas colunas são os **vectores próprios** normalizados de N^{-1} , e definirmos a seguinte mudança de variável: $\hat{U} = S^T \cdot \hat{\delta}$

obtemos uma nova matriz de covariâncias da v.a. não-correlacionada U

$$\hat{C}_{\hat{U}} = S^T \cdot (\hat{\sigma}_0^2 N^{-1}) \cdot S = \hat{\sigma}_0^2 \cdot D$$

k) O **domínio de erro** respeitante a estas variáveis não correlacionas é o **hiper-elipsóide** de erro cujos semieixos são as raízes quadradas dos seus valores próprios.

Ajustamento de Redes

5.9.12 Conclusões

a) A análise da qualidade de uma rede através do modelo estocástico de ajustamento é de grande importância;

b) Não só se pode avaliar *a posteriori* a qualidade do ajustamento, como também se pode garantir *a priori* essa qualidade pretendida;

c) Dado que o modelo estocástico depende substancialmente da geometria e da qualidade (precisão) das observações, e não tanto das coordenadas dos pontos, ele pode ser determinado *a priori* com suficiente rigor para efeitos de fiabilidade e optimização da rede;

d) A análise *a priori* do modelo estocástico, nomeadamente através do hiper-elipsóide de erro, é muito utilizado na Microgeodesia;

Ajustamento de Redes

5.9.12 Conclusões

- e) Quando se pretende garantir um determinado nível de precisão (a melhor matriz C_x) devem ser feitos estudos prévios ao nível da geometria da rede (modelo funcional) e da qualidade das observações (precisões *a priori*);
- f) Porque na Microgeodesia (exemplo das barragens) se tem mais liberdade de escolha, é fundamental escolher a melhor opção ao nível das observações, da localização dos vértices e dos instrumentos usados, antes mesmo de implantar a rede, para que os resultados correspondam ao esperado (ex.: detecção de deslocamentos milimétricos)

Ajustamento de Redes

5.10 Cálculo numérico de redes

- a) Neste capítulo abordamos os problemas de: 1- “**defeito do datum**”; 2- **redes livres**;
- b) A escolha de pontos de referência, devido à sua instabilidade no caso de redes de apoio de infraestruturas, pode requerer diferentes estratégias de ajustamento;
- c) A precisão final da rede pode justificar uma escolha adequada e criteriosa do *datum* da rede.

Ajustamento de Redes

5.10.1 Defeito do *Datum*

- a) A indeterminação da localização, da orientação e da escala da rede origina o que se chama “defeito do *datum*”;
- b) A existência dos 4 graus de liberdade numa rede bidimensional obriga à fixação dos respectivos parâmetros (localização, escala e orientação) para que o sistema resulte possível e determinado;
- c) Como estes parâmetros constituem uma indeterminação, e as observações não permitem a sua determinação exacta e precisa, tem de se impor certos **constrangimentos**;
- d) Para cada opção tomada tem-se uma solução diferente de referencial, daí o seu defeito;

Ajustamento de Redes

5.10.1 Defeito do *Datum*

- e) Em termos de localização, o ajustamento clássico obriga a que seja fixado pelo menos um ponto, considerando-se os restantes como pontos livres (v.a.);
- f) Para fixar um dado ponto da rede existem duas formas, ou se acrescentam equações de condição relativas aos parâmetros desse ponto:
$$(dM_k = 0; dP_k = 0) \text{ ou } (d\varphi_k = 0; d\lambda_k = 0)$$

ou, não se consideram (não entram) esses parâmetros como variáveis do sistema;
- g) Num caso ou noutro o número de graus de liberdade é o mesmo;
- h) A segunda opção é a mais utilizada;

Ajustamento de Redes

5.10.2 Redes livres

a) Uma alternativa às redes fixas, muito utilizada actualmente, e que resolve em parte o problema do “*defeito do datum*”, é o conceito de *rede livre*;

b) Ao invés de se considerar um ponto fixo, todos são pontos livres (v.a.), e considera-se um ou mais pontos com coordenadas constrangidas a uma variância limitada;

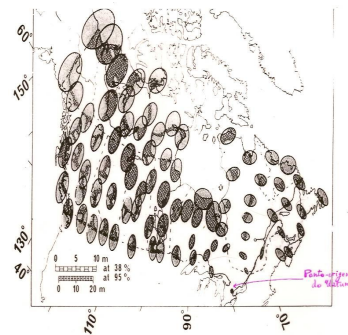
c) São acrescentadas equações de condição das suas coordenadas, às quais fica associada uma dada variância (xx mm²), e consequentemente, um dado peso;

$$\begin{cases} dM_k = (M_k^0 - \bar{M}_k)_{n+1} - v_{n+1} \\ dP_k = (P_k^0 - \bar{P}_k)_{n+2} - v_{n+2} \end{cases} \text{ ou } \begin{cases} d\varphi_k = (\varphi_k^0 - \bar{\varphi}_k)_{n+1} - v_{n+1} \\ d\lambda_k = (\lambda_k^0 - \bar{\lambda}_k)_{n+2} - v_{n+2} \end{cases}$$

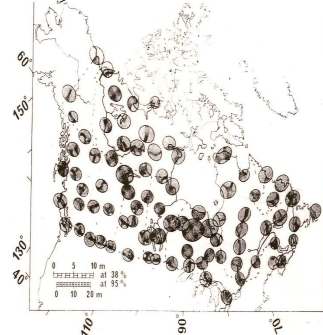
Ajustamento de Redes

5.10.2 Redes livres

a) Rede fixa



b) Rede livre



Ajustamento de Redes

5.10.3 Conceitos

- a) Compensação livre – ajustamento de observações homogéneas (direcções) livre de constrangimento às observações, método de estimativa da variância das direcções azimutais;
- b) Ajust. de constrangimento máximo - ajustamento de uma rede com o máximo de constrangimento (localização, escala e orientação), por exemplo, com 2 pontos fixos (equivalente à compensação livre).
- c) Ajustamento constrangido – ajustamento de uma rede com constrangimento aos seus graus de liberdade de localização (escala e orientação livre) ;
- d) Ajust. de constrangimento mínimo - ajustamento de uma rede com o mínimo de constrangimento aos seus graus de liberdade (localização, escala e orientação), sem pontos fixos, – rede livre (com pts de controlo);